

## СВЕРХЧУВСТВИТЕЛЬНОСТЬ НЕЛИНЕЙНОЙ СИСТЕМЫ С МУЛЬТИПЛИКАТИВНЫМ ЦВЕТНЫМ ШУМОМ К ВНЕШНЕМУ ПЕРИОДИЧЕСКОМУ СИГНАЛУ

С. Л. Гинзбург, М. А. Пустовойт\*

Петербургский институт ядерной физики им. Б. П. Константинова Российской академии наук  
188350, Гатчина, Ленинградская обл., Россия

Поступила в редакцию 17 марта 1999 г.

Аналитически и с помощью численного моделирования изучена простая нелинейная стохастическая система — передемпфированный крамерсовский осциллятор с мультипликативным цветным шумом. Показано, что в области существования *on-off*-переключаемости система становится сверхчувствительной к слабому внешнему периодическому сигналу.

PACS: 05.40.+j, 05.45.+b

### 1. ВВЕДЕНИЕ

Ныне общепризнано, что влияние шума в ряде стохастических систем способно приводить к явлениям, на первый взгляд противоречащих здравому смыслу. В качестве широко известного примера такого явления можно назвать стохастический резонанс, когда воздействие шума приводит к усилению системой внешнего (как правило, периодического) сигнала [1]. Другой класс подобных явлений известен под названием индуцированного шумом переноса, когда стохастическая система с асимметричным потенциалом и цветным шумом работает подобно храповику, и в результате возникает поток вещества, вызванный шумом [2]. Такая система напоминает известного демона Максвелла. Еще один пример — индуцированный шумом фазовый переход в системах с мультипликативным (параметрическим) шумом [3]. Здесь добавление шума к мультипликативному малому бифуркационному параметру приводит к возникновению фазового состояния, не существующего в отсутствие шума.

Недавно нами было обнаружено еще одно необычное явление, демонстрирующее конструктивную роль шума в нелинейных системах. Оказалось, что нелинейная система (крамерсовский осциллятор) с мультипликативным белым шумом, находящаяся под воздействием сверхслабого периодического сигнала, в режиме *on-off*-переключаемости способна усиливать этот сигнал на много порядков величины [4]. Мы назвали это явление индуцированной шумом сверхчувствительностью.

Однако для дальнейшего выяснения физической картины явления необходимо иметь в виду, что белый шум является абстракцией, поскольку любой физически реальный шумовой процесс является цветным, т. е. имеет конечное время корреляции  $\tau$ .

\*E-mail: markp@hep486.pnpi.spb.ru

При теоретическом рассмотрении задачи в общем виде необходимо обеспечить условие предельного перехода к белому шуму, когда одновременно с уменьшением  $\tau$  амплитуда шума возрастает как  $\tau^{-1/2}$ . Реально это условие практически никогда не выполняется, и, следовательно, приближение белого шума неприменимо. Кроме того, учет конечности времени корреляции необходим, когда это время сравнимо с периодом внешнего сигнала. Поэтому в настоящей работе мы проводим теоретическое и модельное исследование крамеровского осциллятора с мультипликативным цветным шумом с самого начала. Поскольку известно, что стохастическое дифференциальное уравнение с цветным гауссовым шумом не имеет точного решения [3], мы проводим теоретический анализ для случая дихотомического цветного шума, а численное моделирование — также и для гауссова цветного шума. В обоих этих случаях результаты оказываются практически одинаковыми. Мы определяем зависимость коэффициента усиления периодического сигнала от амплитуды и времени корреляции цветного шума и показываем, что явление сверхчувствительности имеет место в широкой области этих параметров. Коэффициент усиления сигнала возрастает на много порядков при увеличении как амплитуды, так и времени корреляции шума от нуля до оптимальных значений. При этом зависимость коэффициента усиления от этих параметров имеет универсальный характер для разных типов шума — как гауссова, так и дихотомического (телеграфного).

Работа построена следующим образом. В разд. 2 мы описываем нашу модель и приводим основные уравнения для одночастичной плотности распределения. В разд. 3 мы вкратце повторяем основные результаты работы [4] для белого шума, затем находим вид одночастичной плотности распределения для цветного дихотомического шума в адиабатическом приближении и ее моменты. В разд. 4 представлены результаты численного моделирования для белого, цветного дихотомического и цветного гауссова шумов. Здесь мы находим область параметров системы, в которой возникает сверхчувствительность. Выводы приведены в разд. 5.

## 2. ОСНОВНЫЕ УРАВНЕНИЯ

Мы изучаем стохастическое уравнение передемпфированного крамеровского осциллятора с мультипликативным шумом в периодическом поле в виде прямоугольного сигнала:

$$\frac{dx}{dt} = \lambda x + z(t)x - Ux^3 + AR(t),$$

$$R(t+T) = R(t) = \begin{cases} 1, & 0 < t \leq T/2, \\ -1, & T/2 < t \leq T. \end{cases} \quad (1)$$

Здесь  $\lambda$ ,  $U$  и  $A$  — постоянные параметры, а  $z(t)$  — случайная величина с автокоррелятором

$$\langle z(t)z(t') \rangle = \Delta^2 e^{-\gamma|t-t'|}. \quad (2)$$

Если  $z(t)$  — гауссова случайная функция, то она удовлетворяет уравнению Орнштейна—Уленбека:

$$\frac{dz}{dt} = -\gamma z + \Delta\sqrt{2\gamma}\xi(t),$$

$$\langle \xi(t)\xi(t') \rangle = \delta(t-t'), \quad (3)$$

где  $\xi(t)$  — белый шум.

Для дихотомического шума  $z(t)$  записывается следующим образом:

$$z(t) = S(t)\Delta, \quad S(t) = \pm 1, \quad (4)$$

где  $S(t)$  — случайная величина, которая меняет знак с вероятностью  $\gamma/2$  в единицу времени. Тогда  $z(t)$  является разрывной переменной, реализацию которой можно записать следующим образом. Введем в рассмотрение дискретное время  $t_k = k\Delta t$  и напишем отображение

$$\begin{aligned} S_{k+1} &= \frac{1}{2}(\xi_{+,k} - \xi_{-,k}) + \frac{1}{2}(\xi_{+,k} + \xi_{-,k})S_k = \\ &= \begin{cases} \xi_{+,k}S_k, & S_k = 1, \\ \xi_{-,k}S_k, & S_k = -1, \end{cases} \end{aligned} \quad (5)$$

$$f(\xi_{\pm,k}) = \frac{\gamma}{2}\delta(\xi_{\pm,k} + 1)\Delta t + \left(1 - \frac{\gamma}{2}\Delta t\right)\delta(\xi_{\pm,k} - 1).$$

Здесь  $\xi_{+,k}$  и  $\xi_{-,k}$  — две случайные независимые величины, значения которых определяются распределением  $f(\xi)$ . Если соответствующая величина отрицательна, то  $S(t)$  меняет знак. В пределе  $\Delta t \rightarrow 0$  получаем случайный телеграфный (симметричный дихотомический) шум. Если положить в (2)

$$\Delta^2 = \gamma\beta^2/2, \quad \gamma \rightarrow \infty, \quad (6)$$

то

$$\langle z(t)z(t') \rangle = \beta^2\delta(t - t'),$$

что означает переход как гауссова, так и дихотомического цветного шума в белый гауссов шум. Уравнение (1) понимается при этом по Стратоновичу.

В случае белого шума уравнение (1) определяет одномерный марковский процесс, для которого можно записать уравнение Фоккера—Планка:

$$\frac{\partial F(x,t)}{\partial t} = -\frac{\partial}{\partial x} \left\{ \left[ \left( \lambda + \frac{\beta^2}{2} \right) x - Ux^3 + AR(t) \right] F(x,t) \right\} + \frac{\beta^2}{2} \frac{\partial^2}{\partial x^2} [x^2 F(x,t)]. \quad (7)$$

Для цветного шума  $x(t)$  и  $z(t)$  определяют двумерный марковский процесс, для которого существует двумерное уравнение Фоккера—Планка. Для гауссова шума оно имеет вид

$$\begin{aligned} \frac{\partial F(x,z,t)}{\partial t} &= -\frac{\partial}{\partial x} \left\{ [(\lambda + z)x - Ux^3 + AR(t)] F(x,z,t) \right\} + \\ &+ \gamma \frac{\partial}{\partial z} [zF(x,z,t)] + \gamma\Delta^2 \frac{\partial^2}{\partial z^2} F(x,z,t). \end{aligned} \quad (8)$$

Поскольку последнее уравнение не удовлетворяет условиям потенциальности [5], написать его точное решение невозможно.

Для дихотомического шума переменная  $z(t)$  может принимать лишь два значения, поэтому вместо уравнения в частных производных (8) получим два обыкновенных уравнения [3]:

$$\begin{aligned} \frac{\partial F(x, \Delta, t)}{\partial t} &= -\frac{\partial}{\partial x} \{[(\lambda + \Delta)x - Ux^3 + AR(t)] F(x, \Delta, t)\} + \\ &+ \frac{\gamma}{2} [F(x, -\Delta, t) - F(x, \Delta, t)], \\ \frac{\partial F(x, -\Delta, t)}{\partial t} &= -\frac{\partial}{\partial x} \{[(\lambda - \Delta)x - Ux^3 + AR(t)] F(x, -\Delta, t)\} + \\ &+ \frac{\gamma}{2} [F(x, \Delta, t) - F(x, -\Delta, t)]. \end{aligned} \quad (9)$$

### 3. РЕШЕНИЕ УРАВНЕНИЙ В АДИАБАТИЧЕСКОМ ПРИБЛИЖЕНИИ

Теперь решим уравнения (7) и (9) в адиабатическом приближении (характерное время релаксации системы много меньше периода сигнала) и затем оценим времена переключения выходного сигнала. Эта оценка даст возможность сделать вывод о применимости адиабатического приближения.

Начнем с уравнения (7). Для малых амплитуд сигнала (примем здесь и далее  $A \approx \approx 10^{-10}$ ) его решение в адиабатическом приближении имеет вид [4]

$$F(x, t) = C|x|^{\alpha-1}\theta(R(t)x) \exp\left\{-\frac{2AR(t)}{\beta^2 x} - \frac{Ux^2}{\beta^2}\right\}, \quad \alpha = 2\lambda/\beta^2, \quad (10)$$

где  $\theta$  — ступенчатая функция Хевисайда. Асимптотики нормировочного множителя  $C$  при малых значениях параметра  $\alpha$  таковы:

$$C = \begin{cases} \alpha, & \alpha > 0, \quad \zeta \gg 1, \\ [\ln(1/A)]^{-1}, & \zeta \ll 1, \\ |\alpha|A^{|\alpha|}, & \alpha < 0, \quad \zeta \gg 1, \end{cases} \quad (11)$$

$$\zeta = |\alpha| \ln(1/A), \quad |\alpha| \ll 1, \quad U/\beta^2 \sim 1.$$

Решение (10) обладает двумя интересными свойствами. Во-первых,  $F(x) \propto \theta(x)$  при  $R(t) > 0$  и  $F(x) \propto \theta(-x)$  при  $R(t) < 0$ . Это значит, что при смене знака входного сигнала выходной сигнал тоже изменит знак через некоторое время  $T_0$ , оценку для которого мы приводим ниже. Решение (10) получено при условии  $T \gg T_0$ . Детальный его вывод приведен в [4]. Во-вторых, в случае сверхслабого сигнала распределение  $F(x)$  имеет скейлинговый вид в широкой области изменения  $x$ :

$$F(x) = C|x|^{\alpha-1}\theta(R(t)x), \quad A \ll x \ll x_0 \approx \beta/\sqrt{U}. \quad (12)$$

Далее, из (11) видно, что при  $\zeta \sim 1$ , т. е. при амплитуде сигнала

$$A_0 = \exp(-1/|\alpha|),$$

происходит кроссовер, т. е. при  $|\alpha| \ll 1$  сверхслабый сигнал  $A_0 \ll A \ll x_0$  меняет плотность распределения кардинально. В монографии [3] рассматривалась лишь область

$A \ll A_0$ . При этом для  $\lambda < 0$  функция  $F(x)$  стремится к  $\delta(x)$ :  $F(x) \rightarrow \delta(x)$ . Мы же изучаем область  $A_0 \ll A \ll x_0$  при малых абсолютных значениях параметра  $\alpha$ . Именно в этой области обнаруживаются интересующие нас эффекты. Чтобы сразу увидеть их, вычислим моменты  $F(x, t)$ . Учитывая явный вид  $R(t)$  в (1), в адиабатическом приближении получим для малых  $\zeta$ :

$$\begin{aligned} \langle x(t) \rangle &= \frac{\beta}{2} \sqrt{\frac{\pi}{U}} \frac{1}{\ln(1/A)} R(t), \\ \langle x^2(t) \rangle &= \frac{\beta^2}{2U} \frac{1}{\ln(1/A)}, \\ \frac{\langle x(t) \rangle^2}{\langle x^2(t) \rangle} &= \frac{\pi}{2 \ln(1/A)} \ll 1, \\ I &= \frac{\langle x(t) \rangle}{AR(t)} = \sqrt{\frac{\pi}{4U}} \frac{\beta}{A \ln(1/A)}. \end{aligned} \quad (13)$$

Здесь  $I$  — коэффициент усиления сигнала.

Выражение для  $I$  справедливо лишь в адиабатическом приближении. В общем случае коэффициент усиления определяется как

$$I^2 = \frac{1}{T} \int_0^T \frac{\langle x(t) \rangle^2}{A^2} dt. \quad (14)$$

Поскольку  $\ln(1/A)$  — довольно слабая функция, первый момент имеет величину порядка  $x_0$ , а коэффициент усиления гигантский (при  $\beta = 0.7$ ,  $U = 1$ ,  $A = 10^{-11}$  величина  $I$  равна  $2.5 \cdot 10^9$ ). Заметим, что  $x(t)$  сильно флуктуирует и дисперсия велика по сравнению со средним. Однако, поскольку  $\langle x(t) \rangle$  — знакопеременная величина, а  $\langle x^2(t) \rangle$  — нет, сигнал легко обнаруживается обычными спектральными методами.

Описанное выше явление, индуцированное сильным мультипликативным шумом, мы назвали сверхчувствительностью к слабым переменным сигналам.

Оценим теперь время  $T_0$  переключения сигнала при изменении знака  $R(t)$  исходя из простых физических соображений. При переключении знака  $R(t)$  траектория  $x(t)$  меняет знак только тогда, когда  $|x|$  достигает  $A$ . Поэтому необходимо определить из (10) вероятность того, что переменная  $x$  окажется в области  $|x| \leq A$ , т.е. будет готова перейти через нуль. Очевидно, что значение  $T_0$  обратно пропорционально этой вероятности:

$$\begin{aligned} T_0^{-1} &\propto \int_0^A F(x) dx \propto CA^\alpha, \\ T_0 &\propto \begin{cases} A^{-\alpha}/\alpha, & \alpha > 0, \quad \zeta \gg 1, \\ \ln(1/A), & \zeta \ll 1, \\ 1/|\alpha|, & \alpha < 0, \quad \zeta \gg 1. \end{cases} \end{aligned} \quad (15)$$

Видно, что адиабатичность нарушается (время  $T_0$  становится велико) в области положительных  $\alpha$ . При  $\alpha < 0$ ,  $\zeta \gg 1$  она выполняется всегда, а при  $\zeta \ll 1$  происходит

кроссовер к неадиабатическому поведению. Приведенные ниже результаты численного моделирования отчетливо это демонстрируют.

Перейдем теперь к случаю дихотомического шума, т. е. к решению (9) в адиабатическом приближении. В монографии [3] показано, что при постоянном входном сигнале ( $R(t) = 1$ ) можно найти стационарное решение уравнения (9). Переходя к адиабатическому переменному сигналу, выпишем отдельно решение для положительных и отрицательных значений входного сигнала. При  $R(t) = 1$  получим из (9) для плотности распределения  $F(x) = F(x, \Delta) + F(x, -\Delta)$  следующие замкнутые выражения [3]:

$$F(x) = C \frac{g(x)}{\Delta^2 g^2(x) - f^2(x)} \exp \left[ -\frac{\gamma}{2} \int dz \left( \frac{1}{f(z) - g(z)\Delta} + \frac{1}{f(z) + g(z)\Delta} \right) \right],$$

$$F(x, \Delta) = \frac{g(x)\Delta - f(x)}{2g(x)\Delta} F(x), \quad F(x, -\Delta) = \frac{g(x)\Delta + f(x)}{2g(x)\Delta} F(x), \quad (16)$$

$$f(x) = \lambda x - Ux^3 + A, \quad g(x) = x.$$

Прежде всего заметим, что при предельном переходе к белому шуму (6) получается стандартное решение уравнения (7) [3, 5]:

$$F(x) = \frac{C}{g(x)} \exp \left[ \frac{2}{\beta^2} \int \frac{f(x)}{g^2(x)} dx \right]. \quad (17)$$

Далее, в задаче присутствуют три константы одной размерности:  $\Delta$ ,  $\lambda$  и  $\gamma$ . Нас интересует область малых  $\lambda$ , поэтому в дальнейшем примем  $|\lambda| < \Delta$ . Никаких других соотношений между этими константами мы априори не вводим. Тогда решение (16) после вычисления интегралов имеет вид

$$F(x) = Cx \left( x + \frac{A}{\Delta + \lambda} \right)^{-1 - \gamma/2(\Delta + \lambda)} \left( x - \frac{A}{\Delta - \lambda} \right)^{-1 + \gamma/2(\Delta - \lambda)} \times$$

$$\times \left( \frac{\Delta + \lambda}{U} - x^2 \right)^{-1 + \gamma/4(\Delta + \lambda)} \left( \frac{\Delta - \lambda}{U} + x^2 \right)^{-1 - \gamma/4(\Delta - \lambda)},$$

$$F(x, \Delta) = \frac{CU}{2\Delta} \left( x + \frac{A}{\Delta + \lambda} \right)^{-1 - \gamma/2(\Delta + \lambda)} \left( x - \frac{A}{\Delta - \lambda} \right)^{\gamma/2(\Delta - \lambda)} \times$$

$$\times \left( \frac{\Delta + \lambda}{U} - x^2 \right)^{-1 + \gamma/4(\Delta + \lambda)} \left( \frac{\Delta - \lambda}{U} + x^2 \right)^{-\gamma/4(\Delta - \lambda)}, \quad (18)$$

$$F(x, -\Delta) = \frac{CU}{2\Delta} \left( x + \frac{A}{\Delta + \lambda} \right)^{-\gamma/2(\Delta + \lambda)} \left( x - \frac{A}{\Delta - \lambda} \right)^{-1 + \gamma/2(\Delta - \lambda)} \times$$

$$\times \left( \frac{\Delta + \lambda}{U} - x^2 \right)^{\gamma/4(\Delta + \lambda)} \left( \frac{\Delta - \lambda}{U} + x^2 \right)^{-1 - \gamma/4(\Delta - \lambda)},$$

$$R(t) = +1.$$

Следуя [3], можно показать, что  $F(x)$  и  $F(x, \pm\Delta)$  заданы на интервале  $(A/(\Delta - \lambda), \sqrt{(\Delta + \lambda)/U})$ . Этот интервал называется носителем функции  $F(x)$ .

Из (18) видно, что при малых  $\gamma$  для  $z = \Delta$  имеется сингулярность лишь при  $x = \sqrt{(\Delta + \lambda)/U}$ , а при  $z = -\Delta$  — лишь при  $x = A/(\Delta - \lambda)$ , т.е. при  $\gamma \rightarrow 0$  имеется очень сильная корреляция между  $x$  и  $z$ , что совершенно естественно.

Далее, для отрицательного входного сигнала имеем

$$F(x) = C \cdot (-x) \left(-x + \frac{A}{\Delta + \lambda}\right)^{-1-\gamma/2(\Delta+\lambda)} \left(-x - \frac{A}{\Delta - \lambda}\right)^{-1+\gamma/2(\Delta-\lambda)} \times \\ \times \left(\frac{\Delta + \lambda}{U} - x^2\right)^{-1+\gamma/4(\Delta+\lambda)} \left(\frac{\Delta - \lambda}{U} + x^2\right)^{-1-\gamma/4(\Delta-\lambda)}, \quad (19)$$

$$R(t) = -1, \quad x \in \left(-\sqrt{\frac{\Delta + \lambda}{U}}, -\frac{A}{\Delta - \lambda}\right)$$

и аналогично для  $F(x, \pm\Delta)$ .

Таким образом, (18) и (19) переходят друг в друга при замене  $x$  на  $-x$ , что означает зеркальную симметрию плотности распределения относительно нуля. Поэтому в дальнейшем мы рассматриваем в основном лишь случай положительного входного сигнала.

Примем сначала в (18)  $A = 0$ . Тогда

$$F(x) = Cx^{-1+\alpha} \left(\frac{\Delta + \lambda}{U} - x^2\right)^{-1+\gamma/4(\Delta+\lambda)} \left(\frac{\Delta - \lambda}{U} + x^2\right)^{-1-\gamma/4(\Delta-\lambda)},$$

$$F(x, \Delta) = \frac{UC}{2\Delta} x^{-1+\alpha} \left(\frac{\Delta + \lambda}{U} - x^2\right)^{-1+\gamma/4(\Delta+\lambda)} \left(\frac{\Delta - \lambda}{U} + x^2\right)^{-\gamma/4(\Delta-\lambda)},$$

$$F(x, -\Delta) = \frac{UC}{2\Delta} x^{-1+\alpha} \left(\frac{\Delta + \lambda}{U} - x^2\right)^{\gamma/4(\Delta+\lambda)} \left(\frac{\Delta - \lambda}{U} + x^2\right)^{-1-\gamma/4(\Delta-\lambda)}, \quad (20)$$

$$\alpha = \frac{\lambda\gamma}{\Delta^2 - \lambda^2}, \quad x \in \left(0, \sqrt{\frac{\Delta + \lambda}{U}}\right).$$

Из (18) и (20) видно, что при  $\gamma = \gamma_c = 4(\Delta + \lambda)$  меняется характер плотности вероятности. При  $\gamma < \gamma_c$  имеется сингулярность функций  $F(x)$ ,  $F(x, \Delta)$  при  $x = x_0 = \sqrt{(\Delta + \lambda)/U}$  (т.е. система много времени проводит вблизи  $x_0$ ), а при  $\gamma > \gamma_c$  она исчезает. Далее, из (20) видно, что в широком интервале  $A \ll x \ll x_0$  плотность распределения имеет вид  $F(x) \propto x^{\alpha-1}$ , как и в случае белого шума, только с иначе определенным параметром  $\alpha$  (при предельном переходе к белому шуму эти два определения совпадают). Из (20) следует также, что у всех функций  $F(x)$ ,  $F(x, \pm\Delta)$  имеется одинаковая сингулярность при  $x = 0$ , а при  $x = x_0$  функции  $F(x)$  и  $F(x, \Delta)$  сингулярны, а  $F(x, -\Delta)$  обращается в нуль. Далее, при  $\alpha < 0$  нормировочный интеграл расходится, т.е. необходимо учитывать конечность амплитуды сигнала  $A$ .

Множитель  $C$  выражается через гипергеометрическую функцию. Однако ясно, что, поскольку сингулярность при  $x = 0$  обрывается нижней границей носителя  $F(x)$ , достаточно хорошая оценка для  $C$  получится, если положить просто

$$C^{-1} = B^{-1} \int_A^{x_0} x^{\alpha-1} dx = B^{-1} \frac{x_0^\alpha - A^\alpha}{\alpha},$$

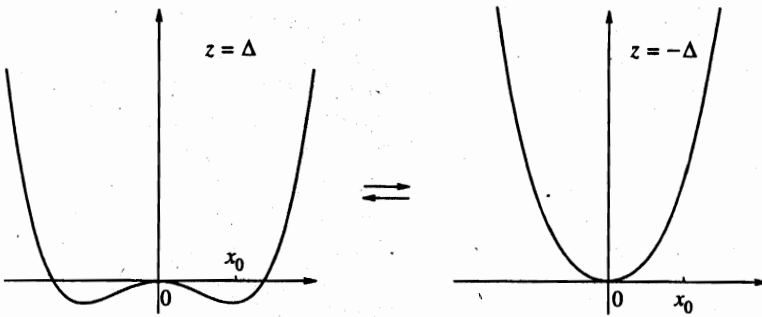


Рис. 1. Вид потенциальной кривой для уравнения (1) при двух значениях дихотомического шума в (4) и  $A = 0$

где  $B$  — константа, не зависящая от  $A$ . При малых  $\alpha$

$$C = \begin{cases} B\alpha, & \alpha > 0, \quad \zeta \gg 1, \\ B/\ln(1/A), & \zeta \ll 1, \\ B|\alpha|A^{|\alpha|}, & \alpha < 0, \quad \zeta \gg 1. \end{cases} \quad (21)$$

Это выражение совпадает с нормировкой (11). Поскольку явление сверхчувствительности связано с зависимостью  $C$  от  $\alpha$ , ясно, что введение цветного дихотомического шума не меняет картину явления, влияя лишь на определение параметра  $\alpha$ . Тем не менее интересно, что в случае сильно коррелированного шума, т.е. при уменьшении  $\gamma$ , уменьшается и  $\alpha$ , т.е. дополнительно индуцируется сверхчувствительность. Рассмотрим область малых  $\gamma$  отдельно. Как видно из (17), при  $\gamma \rightarrow 0$  все показатели степени стремятся к единице. Чтобы понять структуру ответа, рассмотрим случай  $A = 0$ , т.е. формулы (20). Главные множители в них — это  $x^{\alpha-1}$  и  $(x_0 - x)^{-1+\gamma/4(\Delta+\lambda)}$ . Поэтому рассмотрим только их, т.е. напомним модельную плотность вероятности (для положительных  $\lambda$ ):

$$F(y) = Cy^{\alpha-1}(1-y)^{\epsilon-1},$$

$$\epsilon = \frac{\gamma}{4(\Delta + \lambda)}, \quad \alpha = \frac{\lambda\gamma}{\Delta^2 - \lambda^2}, \quad y = \frac{x}{x_0}, \quad (22)$$

$$C = \frac{\Gamma(\alpha + \epsilon)}{\Gamma(\alpha)\Gamma(\epsilon)} \xrightarrow{\alpha, \epsilon \rightarrow 0} \frac{\alpha\epsilon}{\alpha + \epsilon}.$$

Усредняя произвольную функцию  $f(y)$  по распределению (22), получим

$$\langle f(y) \rangle = \frac{\alpha\epsilon}{\alpha + \epsilon} \sum_{n=0}^{\infty} \frac{f^{(n)}(0)}{n!} \frac{\Gamma(\alpha + n)\Gamma(\epsilon)}{\Gamma(\alpha + n + \epsilon)} \xrightarrow{\alpha, \epsilon \rightarrow 0} f(0) + \frac{\alpha}{\alpha + \epsilon} \sum_{n=1}^{\infty} \frac{f^{(n)}(0)}{n!} =$$

$$= \frac{\epsilon}{\alpha + \epsilon} f(0) + \frac{\alpha}{\alpha + \epsilon} f(1). \quad (23)$$

Из (23) видно, что при устремлении параметров  $\alpha$  и  $\epsilon$  к нулю

$$F(y) \rightarrow \frac{\epsilon}{\alpha + \epsilon} \delta(y) + \frac{\alpha}{\alpha + \epsilon} \delta(y - 1), \quad (24)$$



т.е. плотность распределения в (22), а значит, и в (19) при  $\gamma \rightarrow 0$ , представляет собой две размазанные дельта-функции. Физически это очевидно, поскольку при малых  $\gamma$  система в основном находится в состояниях  $x = 0$ ,  $x = x_0$ , к которым релаксирует экспоненциально. Однако, если просто рассматривать адиабатическое приближение по времени корреляции шума, мы вместо (24) получим  $F(x) = [\delta(x) + \delta(x - x_0)]/2$ . Это означает, что адиабатическое приближение по корреляционному времени не верно, а верно (24). Причина такого поведения видна из следующих рассуждений. При переключении шума с  $z = \Delta$  на  $z = -\Delta$  система экспоненциально релаксирует к нулю  $x = x_0$ , а при обратном переключении релаксация начинается с очень малых значений  $x$ , и поэтому система сильно задерживается при  $|x| \ll 1$ . Это хорошо видно на рис. 1, где изображен потенциал при разных значениях шума. При  $z = \Delta$  возникает потенциальный барьер при  $x = 0$ , где задерживается система, а при  $z = -\Delta$  этот барьер исчезает, и система быстро релаксирует к единственному минимуму потенциала. Неэквивалентность переключений следует также из формул (18) и (20) для  $F(x, \Delta)$  и  $F(x, -\Delta)$ . Кроме того, размазка дельта-функций в (22), (20), а также в (18) далека от стандартной.

Вычислим теперь моменты распределения в адиабатическом приближении по периоду сигнала ( $T \gg T_0$ ). Учитывая, что их величины определяются областью  $|x| \gg A$ , можно пользоваться формулой (20) (и аналогичной ей формулой для  $R(t) = -1$ ). Тогда, учитывая (21), аналогично (13) при  $\zeta \ll 1$  получим

$$\begin{aligned} \langle x(t) \rangle &\sim \frac{x_0}{\ln(1/A)} R(t), \\ \langle x^2(t) \rangle &\sim \frac{x_0^2}{\ln(1/A)}, \\ \frac{\langle x(t) \rangle^2}{\langle x^2(t) \rangle} &\sim \frac{1}{\ln(1/A)}, \\ I = \frac{\langle x(t) \rangle}{AR(t)} &\sim \frac{x_0}{A \ln(1/A)} \end{aligned} \quad (25)$$

и аналогичные выражения для других асимптотик. Сравнивая (25) и (13), мы видим, что цветной дихотомический шум также индуцирует сверхчувствительность к слабому переменному сигналу. Существенное отличие от белого шума здесь заключается в том, что условие возникновения сверхчувствительности ( $|\alpha| \ll 1$ ) выполняется не только при малых  $\lambda$ , но и при малых  $\gamma$ , т.е. в области больших времен релаксации шума  $\tau$ . Вышесказанное справедливо, естественно, только при  $\tau \ll T$ . В противном случае сигнал не успевает переключаться и возникает новый класс явлений (в частности, может появиться неэргодичность), которые мы здесь не рассматриваем.

В заключение раздела рассмотрим связь явления сверхчувствительности с *on-off*-перемежаемостью. В предыдущей работе [4] мы показали, что система (1) с белым шумом демонстрирует явление *on-off*-перемежаемости. Суть явления — гигантские флуктуации физических величин, которые с близкой вероятностью могут принимать конечные значения (фаза всплеска) и становиться исчезающе малыми на протяжении длительных спокойных периодов (ламинарная фаза). Такое поведение связано со скейлинговым характером плотности вероятности  $F(x)$  при  $A \ll x \ll x_0$ . Поскольку все функции плотности вероятности для телеграфного шума обладают таким же скейлинговым поведением, естественно ожидать существования *on-off*-перемежаемости и в этом случае. Общепринятым критерием наличия в конкретной системе *on-off*-перемежаемости

является степенная зависимость распределения длительности ламинарных участков с показателем  $3/2$  [6]:

$$\rho(l) \propto l^{-3/2}. \quad (26)$$

В случае коррелированного шума распределение (26) может наблюдаться только при  $l > \tau = 1/\gamma$ .

#### 4. ЧИСЛЕННОЕ МОДЕЛИРОВАНИЕ

Моделирование процесса (1) мы проводили для цветного телеграфного (4), (5) и цветного гауссова (3) шума. Интегрирование проводилось по схеме Эйлера с шагом по времени  $\Delta t = 0.01$ . Дальнейшее уменьшение этой величины уже не влияет на интересующие нас характеристики системы — время переключения при смене знака входного сигнала и коэффициент его усиления.

Наглядно поведение системы с телеграфным шумом иллюстрирует рис. 2а, где изображены фрагменты реализаций выходного сигнала и соответствующего входного шума при большом времени корреляции  $\tau = 1/\gamma = 2000$ . Импульсы выходного сигнала быстро отслеживают импульсы шума, а их знак определяется знаком сверхслабого периодического воздействия. Видна также описанная выше неэквивалентность переключений шума, когда сигнал не успевает возрасти до  $x_0$ . Для сравнения приведены аналогичные данные для гауссова цветного шума при тех же значениях параметров (рис. 2б).

Далее, явление сверхчувствительности четко проявляется в средних по ансамблю  $\langle x(t) \rangle$  (рис. 3) и величине коэффициента усиления (рис. 4). Коэффициент усиления  $I$  в уравнении (14) определяется через спектральную плотность выходного сигнала  $S(\omega)$  следующим образом. Известно [7], что

$$S(\omega) = 2\pi \sum_k |x_k|^2 \delta(\omega - k\Omega) + S_{noise}(\omega), \quad (27)$$

где  $x_k$  — коэффициенты Фурье периодической функции  $\langle x(t) \rangle$ , а  $S_{noise}$  — стохастическая составляющая. Из (14) и (27) видно, что

$$I^2 = \frac{1}{A^2} \sum_k |x_k|^2 = \frac{\delta\omega}{2\pi A^2} \sum_i (S_i - S_{noise}), \quad (28)$$

где  $S_i$  —  $i$ -я гармоника сигнала в спектре,  $\delta\omega$  — ширина спектральной полосы.

На рис. 4 видно, что существуют диапазоны как амплитуды, так и времени корреляции цветного шума, в которых коэффициент усиления максимален. Это связано с тем, что время релаксации  $T_0$  (15) зависит как от  $\Delta$ , так и от  $\gamma$ . Максимум чувствительности системы к периодическому сигналу наблюдается при

$$T_0(\gamma, \Delta) \sim T/2. \quad (29)$$

Условие (29) подобно условию обычного стохастического резонанса в классической задаче с двукратным потенциалом [8], описывая при этом явление совершенно другого характера.

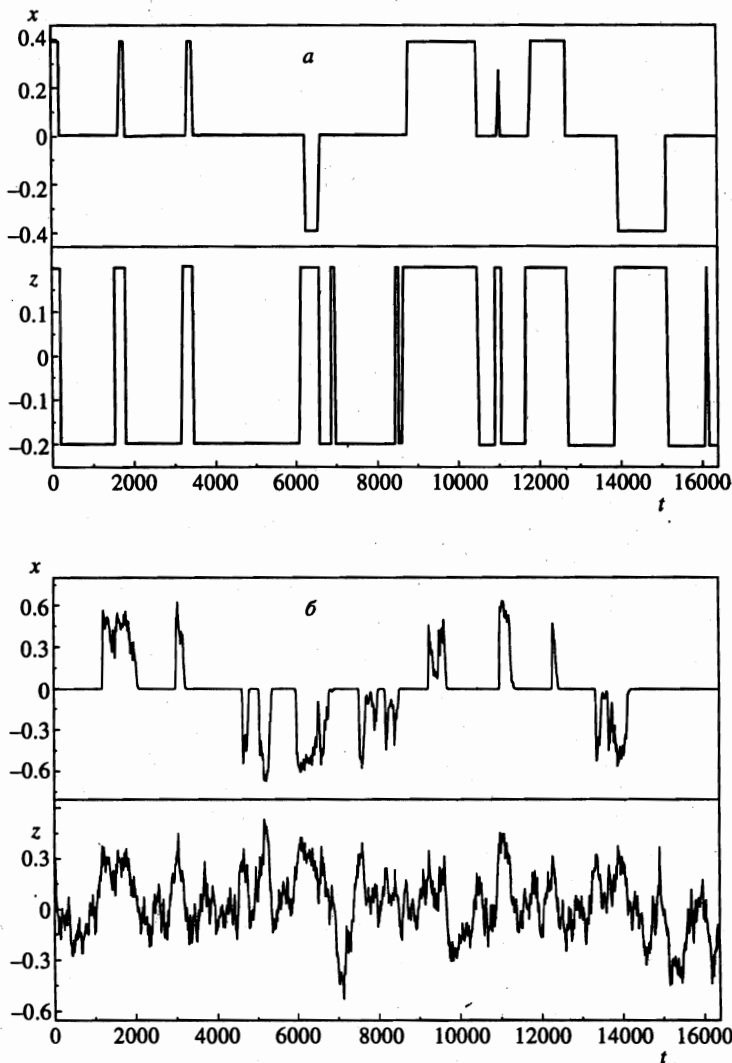


Рис. 2. Поведение во времени мультипликативного телеграфного (а) и гауссова (б) шумов и соответствующего выходного сигнала системы при значениях параметров  $\gamma = 0.0005$ ,  $\Delta = 0.2$ ,  $\lambda = -0.05$ ,  $A = 10^{-11}$ ,  $T = 8192$ ,  $U = 1$

Отношение сигнал—шум, определяемое как

$$SNR^2 = \frac{S_i - S_{noise}}{S_{noise}}, \quad (30)$$

также демонстрирует резонансную зависимость от шума, усиливая сходство изучаемого нами явления с классическим стохастическим резонансом. Отметим, что в области, где имеет место резкое возрастание усиления, это отношение проходит через минимум, что означает наличие сильных флуктуаций в системе (это видно и на кривых с  $\gamma = 0.05$ , рис. 3а, и с  $\gamma = 0.1$ , рис. 3б). Причины подобного поведения системы нам неясны.

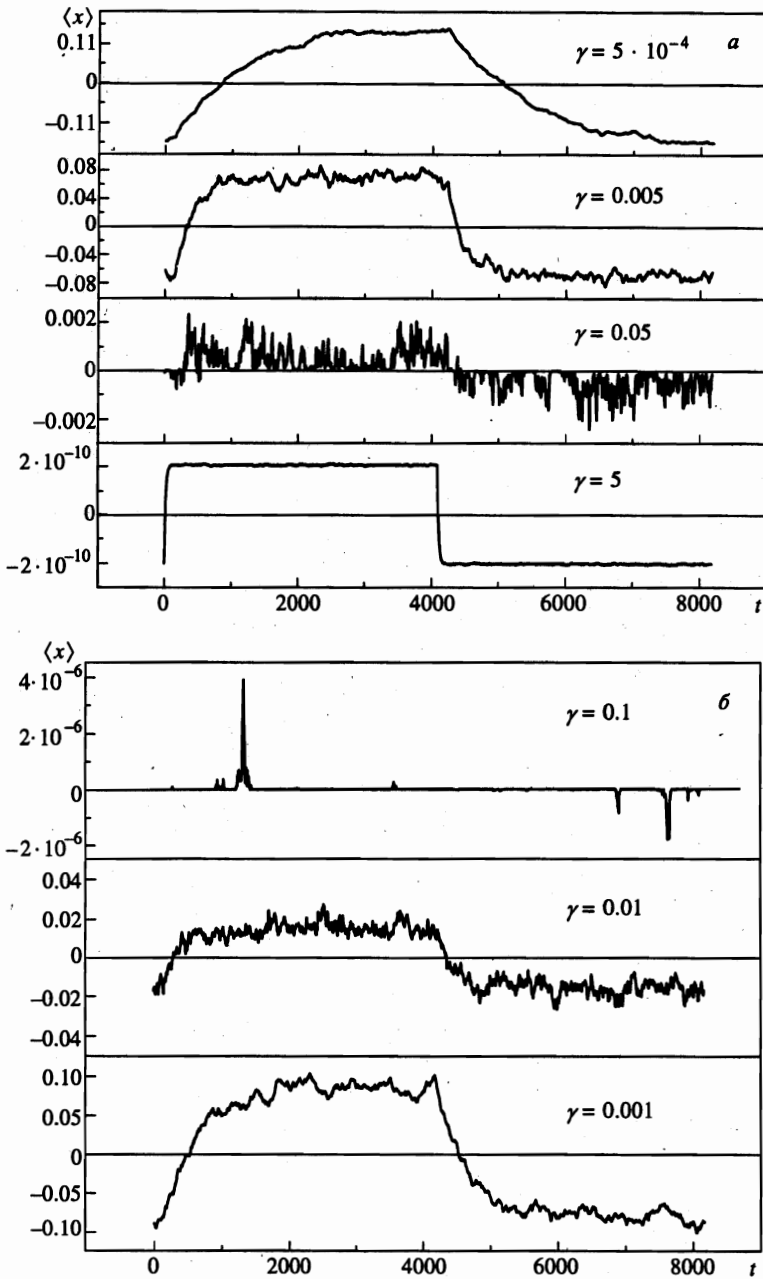
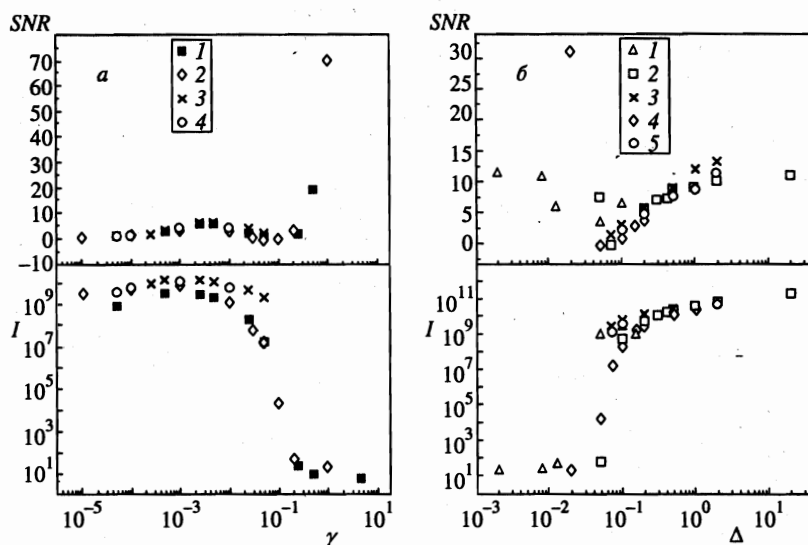


Рис. 3. Средние  $\langle x(t) \rangle$  по 500 периодам сигнала, для разных значений  $\gamma$ : а — телеграфный входной шум; б — гауссов. Значения остальных параметров те же, что и на рис. 2



**Рис. 4.** Зависимость коэффициента усиления сигнала и отношения сигнал—шум ( $SNR$ ) от обратного времени корреляции цветного шума (*a*). Обозначения: 1 — телеграфный шум,  $\lambda = -0.05$ ; 2 — гауссов шум,  $\lambda = -0.05$ ; 3 — телеграфный шум,  $\lambda = 0.02$ ; 4 — гауссов шум,  $\lambda = 0.02$ . Значения  $\Delta$ ,  $A$ ,  $T$  те же, что и на предыдущих рисунках. Зависимость  $I$  и  $SNR$  от амплитуды шума  $\Delta$  (*b*) для белого гауссова шума (6) (1,  $\lambda = -0.05$ ) и для цветного телеграфного (2,  $\lambda = -0.05$ ; 3,  $\lambda = 0.02$ ) и цветного гауссова (4,  $\lambda = -0.05$ ; 5,  $\lambda = 0.02$ ). Для цветного шума  $\gamma = 0.0005$ . Для белого шума параметр  $\Delta$  рассчитан из его интенсивности  $\beta$  согласно формуле (6) с  $\gamma = 0.0005$

Рисунок 4 хорошо иллюстрирует универсальность явления сверхчувствительности для различных видов шума. Этого и следует ожидать, поскольку при выполнении условия сверхчувствительности  $|\alpha| \ll 1$  коэффициент усиления, как видно из формул предыдущего раздела, зависит только от  $\alpha$ .

На рис. 5 приведены резонансные кривые для  $I$  при двух значениях периода сигнала, а на рис. 6 — при двух значениях отсечки  $x_0$ . В нашей модели  $x_0 \propto U^{-1/2}$ . Хорошо видно, что действительно  $I \propto x_0/A$ , т. е. в максимуме резонансной кривой выходной сигнал  $x(t)$  меняется от  $x \sim A = 10^{-11}$  до  $x \sim x_0 = 10^5$ , т. е. на 16 порядков величины.

На рис. 7 представлена зависимость времени релаксации  $T_0$  от  $\gamma$ . Как и следует из формулы (15), зависимость эта экспоненциальная. Хотя формула (15) выведена для белого шума, при ее выводе существен лишь скейлинговый вид плотности распределения при  $|x| < x_0$ , т. е. следует ожидать универсального характера (15), что и подтверждается расчетными данными.

В заключение приведем результаты, показывающие наличие в системе *on-off*-переключаемости. Распределение длин ламинарных участков вычислялось в отдельном машинном эксперименте с постоянным значением сигнала ( $R(t) = 1$ ) и телеграфным шумом. Ламинарные участки распознавались в реализации выходного сигнала по критерию  $x < x_{thr} = 0.1x_0$ . Плотность вероятности рассчитанных таким образом длительностей приведена на рис. 8. Закон (26) действительно выполняется для  $l > \tau$ , т. е. *on-off*-переключаемость существует и в системе с цветным шумом.

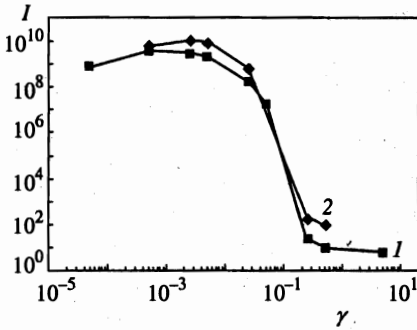


Рис. 5

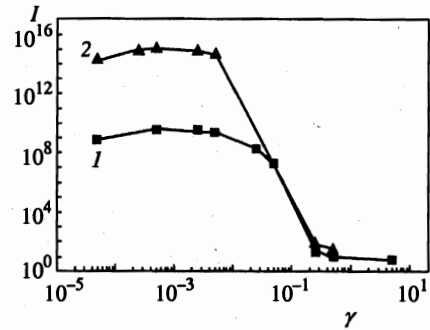


Рис. 6

Рис. 5. Резонансные кривые  $I(\gamma)$  для значений периода входного сигнала  $T = 8192$  (1) и  $T = 819$  (2);  $\Delta = 0.2$ ,  $\lambda = -0.05$ ,  $A = 10^{-11}$

Рис. 6. Резонансные кривые  $I(\gamma)$  для значений параметра  $U = 1$  (1) и  $U = 10^{-10}$  (2);  $T = 8192$ , остальные параметры те же, что для рис. 5

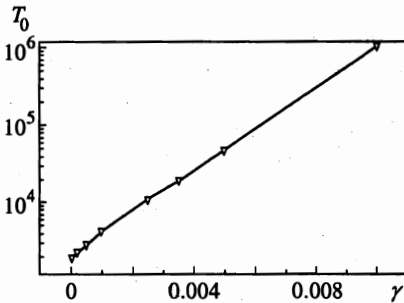


Рис. 7

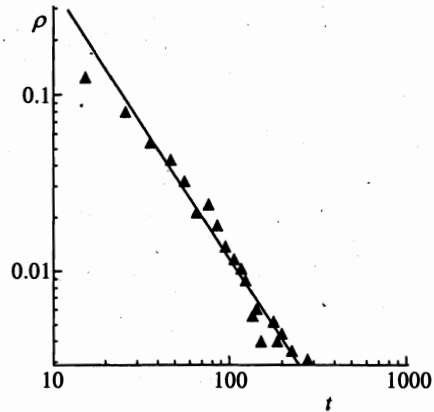


Рис. 8

Рис. 7. Зависимость времени достижения системой порога  $x = 10^{50}$  при  $U = 10^{-100}$  от обратного времени корреляции телеграфного шума. Амплитуда постоянного входного сигнала  $AR(t) = 10^{-11}$ ,  $\Delta = 0.2$ ,  $\lambda = -0.05$

Рис. 8. Плотность вероятности длин ламинарных участков для системы с телеграфным шумом,  $\gamma = 0.025$ ,  $\Delta = 0.2$  и с постоянным входным сигналом  $AR(t) = 10^{-11}$ ;  $\lambda = -0.05$ ,  $U = 1$ . Порог ламинарности  $x_{thr} = 0.1x_0$

## 5. ВЫВОДЫ

Индукцированная шумом сверхчувствительность к слабым сигналам, характерная для систем с *on-off*-переключаемостью, представляет собой достаточно универсальное явление. Оказалось, что она способна возникать под действием не только белого, но и коррелированного (цветного) шума, как телеграфного, так и гауссова. Мы обнаружили, что коэффициент усиления сверхслабого периодического сигнала в системе с цветным мультипликативным шумом зависит резонансным образом не только от амплитуды, но и от времени корреляции шума.

Работа поддержана Российским фондом фундаментальных исследований (грант 99-02-17545), Государственной программой «Физика квантовых и волновых процессов» (подпрограмма «Статистическая физика», проект VIII-3), а также Государственной программой «Нейтронные исследования вещества».

## Литература

1. K. Wiesenfeld and F. Jaramillo, *Chaos* **8**, 539 (1998).
2. R. D. Astumian and F. Moss, *Chaos* **8**, 533 (1998).
3. В. Хорстхемке, Р. Лефевр, *Индукцированные шумом переходы*, Мир, Москва (1987). (W. Horsthemke, R. Lefever, *Noise-induced transitions*, Springer (1984)).
4. S. L. Ginzburg and M. A. Pustovoi, *Phys. Rev. Lett.* **80**, 4840 (1998).
5. К. В. Гардинер, *Стохастические методы в естественных науках*, Мир, Москва (1986). (C. W. Gardiner, *Handbook of Stochastic Methods for Physics, Chemistry, and the Natural Sciences*, Springer (1985)).
6. J. F. Heagy, N. Platt, and S. M. Hammel, *Phys. Rev. E* **49**, 1140 (1994).
7. P. Jung, *Phys. Rep.* **234**, 175 (1993).
8. L. Gammaitoni, P. Hänggi, P. Jung, and F. Marchesoni, *Rev. Mod. Phys.* **70**, 223 (1998).